

RESEARCH REPORT
OF THE
OITA PREFECTURAL
FORESTRY RESEARCH INSTITUTE

No. 7, October, 1983
Arita, Hita, Oita, Japan

研 究 時 報

第 7 号

大 分 県 林 業 試 験 場

昭 和 58 年 10 月

大分県日田市大字有田字佐寺原

大分県林業試験場研究時報第7号（1983年10月）

目 次

竹林施業と竹の生産量及び材質に関する研究	諫本 信義	1
	佐々木義則	

林地除草剤(ザイトロンフレノック微粒剤)	安養寺幸夫	9
空中散布効果試験	川野洋一郎	

集中豪雨による山腹崩壊地の現況調査結果	諫本 信義	20
	佐々木義則	

竹林施業と竹の生産量及び材質に関する研究

安養寺幸夫・諫本信義・佐々木義則

要 旨

マダケの既存林を施業改善することにより良質で多量の竹材を生産することを目的に本試験を実施した。試験区は低密度区と高密度区に区分し、これを更に、施肥区と無施肥区に分け、試験区ごとの新竹発生数、竹稈の形態、成分分析、材質調査を行なった。この結果、高密度施肥区が大径材および形態の良い竹材が生産されるようである。一方、新竹を多量に発生させるためには低密度施肥区が最も有効であったが、新竹は小径竹で節間長が短かく、しかも生枝下高が低いという欠点がある。

I. はじめに

一時代替品の進出により生産量の減退を見た竹材も、最近わが国古来の伝統的工芸品の見直しと、今日の石油製品の値上がりなどによって、以前にもまして需要量が増加している。ただ、需要そのものが材質、形態、耐朽性など品質の優れたものを要求している点で異ってきている。こうした背景のもとにあって、多量で良質の竹材を生産する施業技術が必要である。

本試験では竹林の適正本数密度管理下における生産量と形態や材質の関係について調査研究を行い優良竹材生産に資するもので、大分県では9149haを有するマダケについて試験を実施した。

II. 試験地の概況および方法

試験地 別府市大字別府字櫛下4360外12 別府市有林

期 間 昭和55~57年度

試験区は施肥区と無施肥区を設置し、それを更に低密度区(100本/100m²)と高密度区(250本/100m²)に分け2反復とし計8区設置した。試験区配置図は図-1のとおりである。

1試験区の面積は400m²(20m×20m)とし、更に試験区間の影響をなくすため中央部に100m²(10m×10m)の調査区を設置した。

親竹の年齢は5年以下とし、各年齢別の立竹本数はおおむね均等になるようにした。

親竹の伐採は毎年11月に行ったが枯死竹、病害竹、風雪による折損竹、細竹等は適宜伐採した。

施肥は施肥区の中央部に設置した調査区に表-1のとおりの基準量を毎年春、夏、秋に施用した。

タケの形態調査および成分分析は各調査区の2年生竹で胸高直径の最も大きなもの、平均に近いもの、最も小さいものを各1本づつ選び11月に伐採して、形態は根元径、胸高直径、胸高肉厚、胸高節間長、胸高節高、枯枝下長、生枝下長、稈長、節数、稈、枝、葉別生重量、材質については含水率、収縮率(軸方向、半径方向、接線方向)、成分分析は土

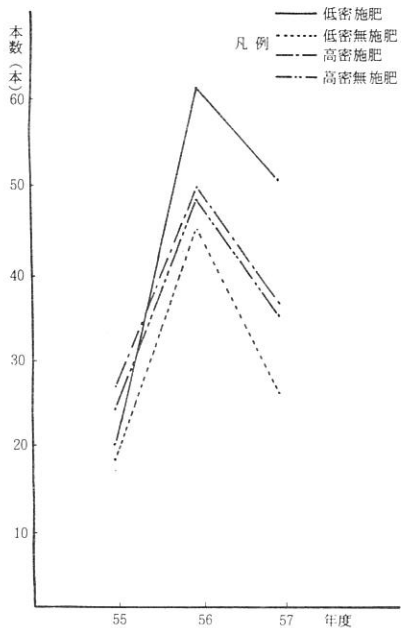
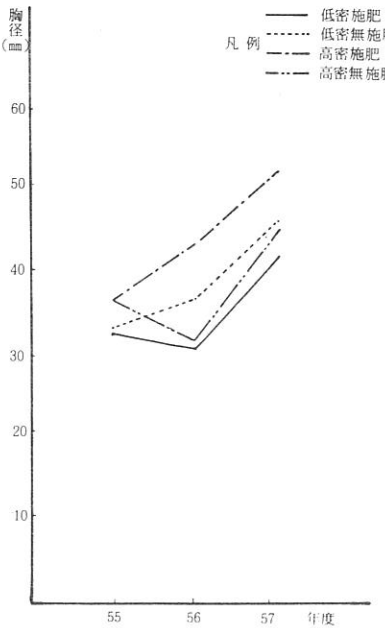
図-2 年度別新竹発生本数(100 m²当り)

図-3 年度別発生新竹の平均胸高径

3. 立竹密度別、施肥の有無別竹稈等の形態

試験地を設定し、密度管理および施肥を実施して2年目に発生した調査区の最大竹、平均竹、最小竹を各1本、8調査区で計24本を昭和57年11月に伐採し、供試竹とした。

調査結果は表-5のとおりで、各調査要因別の優勢順位を示すと下記のとおりである。

根元径……高密度施肥区 > 低密度無施肥区 > 低密度施肥区 > 高密度無施肥区

胸高直径…高密度施肥区 > 低密度無施肥区 > 低密度施肥区 > 高密度無施肥区

胸高肉厚…高密度施肥区 > 低密度無施肥区 > 低密度施肥区 > 高密度無施肥区

胸高節間長…低密度無施肥区 > 高密度施肥区 > 高密度無施肥区 > 低密度施肥区

胸高節高…低密度無施肥区 > 高密度施肥区 > 低密度施肥区 > 高密度無施肥区

生枝下高…高密度施肥区 > 低密度無施肥区 > 高密度無施肥区 > 低密度施肥区

稈長………高密度施肥区 > 低密度無施肥区 > 低密度施肥区 > 高密度無施肥区

節数………高密度施肥区 > 低密度施肥区 > 低密度無施肥区 > 高密度無施肥区

稈生重量…高密度施肥区 > 低密度無施肥区 > 低密度施肥区 > 高密度無施肥区

枝生重量…低密度施肥区 > 高密度施肥区 > 低密度無施肥区 > 高密度無施肥区

葉生重量…低密度施肥区 > 高密度施肥区 > 低密度無施肥区 > 高密度無施肥区

以上のことから大径竹生産のためには根元径、胸高直径、胸高肉厚、生枝下高、稈長において最も大きな数値を示した高密度施肥区が有効と思われるが、高密度であるため劣勢竹（稈径、稈長ともに小さいもの）が優勢竹に被圧され枯損竹が目立つため100 m²当たりの母竹本数は150～200本程度が適当ではないかと思われる。

4. 形態別の相関関係

形態要因別の相関関係を調査したが、全試験区で0.1%水準($r=0.96638\sim0.97891$)で有意であったのは胸高直徑と稈長要因であり、胸高直徑と胸高肉厚との相関関係は低密度施肥区を除き他の3試験区では1%水準で有意であった。

また、胸高直徑と節間長では低密、高密度施肥区とも有意差は現われなかつたが、無施肥区では1%水準で有意であった。胸高肉厚と胸高節高には相関関係はないようである。

5. 密度別、施肥の有無別の材質

竹稈の含水率は高密度施肥区で4.07%が最高で、低密度無施肥区3.61%，高密度無施肥区3.47%，低密度施肥区の3.24%であり、施肥により含水率が上昇するとは一概にはいえない。収縮率の調査は軸方向、半径方向、接線方向の三方で行なつた。収縮率の最も高い方向は半径方向で、いづれの試験区においても10%以上の数値を示した。接線方向の収縮率は8～9%台で低密度、高密度および施肥、無施肥区の差はあまり認められなかつた。軸方向では0.1～0.8%で収縮率は低かった。

その他の材質試験である気乾比重、弾性率、纖維長、セルローズ結晶化度については、京都大学木材研究所に委託し、現在データーのとりまとめ中である。

6. 竹稈、竹葉および土壤の成分分析結果

竹稈、竹葉についてN、 P_2O_5 、 K_2O 、 SiO_2 を施肥2年目に発生した2年生竹を使用した。土壤は試験地設定後の3年目の夏の三要素施用直前に採集し、PH値、C、N、 P_2O_5 、 K_2O の含有成分を分析した。結果は表-5-3に示すとおりで、竹の成分では K_2O は稈と葉での含有量には差が認められなかつたが、N、 P_2O_5 、 SiO_2 では稈に比し葉への含量が著しく大きかつた。また、施肥区と無施肥区ではいづれの成分も含有量に大差は生じていなかつた。

IV. おわりに

昭和55年度から3ヶ年立竹密度別、施肥の有無別の試験を実施してきたが、大径竹を生産する場合は立竹密度を100 m^2 当り150～200本にし、施肥をすることにより解決できるようであるが、近年、本県におけるマダケ材の用途は3～4cmの小径材に集中しつつあるため、小径竹生産のための施業方法として、本試験の結果では低密度仕立(100本/100 m^2)で肥培すれば新竹の発生も多量で小径竹が得られることがわかつた。

しかし、竹稈の形態から見た場合、節間長が短かく、生枝下高が低いという欠点があるため、今後この欠点を解消すべく試験を継続していく必要がある。

林地除草剤(ザイトロンフレノック微粒剤) 空中散布効果試験

安養寺幸夫・川野洋一郎

要　　旨

林地除草剤(ザイトロンフレノック微粒剤)を空中散布し、造林地の下刈りを省力することを目的に、雑草木への枯殺、抑制効果および造林木に対する影響について調査を行った。

主要植生はクサイチゴ、ササ、ワラビ、クズ、ススキ、ウラジロ等であったが散布当年から反応、抑制効果の大きかったもの、反応は現われたが再生したもの、ほとんど反応を示さなかったもの等種類により異なったが、造林木への遮光率は高くなり、ススキ、ボタンヅルの群生地を除いては下刈りの必要性は認められなかった。

I. はじめに

近年、林業就労人口の激減、就労者の高齢化により、林業経営において労働力確保が重大な問題となっている。とくに夏期の猛暑の中での下刈り作業は林業労働者においても敬遠されがちであるが、造林地の下刈りは林木を育てる上では最も重要な作業であり、これをさけて通ることはできない。そこで人力による下刈りより省力的で、しかも急峻な斜面でも簡易に除草される林地除草剤の空中散布を考えられる。

本試験ではクズ、かん木、ススキ、ササ等幅広く除草効果があるとされているザイトロンフレノック微粒剤を空中散布し、雑草木の反応、抑制効果および造林木に対する影響について調査した。

II. 試験方法

1. 試験実施場所

大分県下毛郡三光村大字諫山字鴨山329-1外3 大分県造林公社造林地

2. 試験地の概況

試験地は県の北西部に位置し、付近一帯は山国川下流の豊前平野に付随した丘陵地である。標高は80~180m、土壤は赤色系の褐色森林土でrBc型、rBD(d)型に区分され、生产力はやや劣る。年平均気温15.5°C、年降水量は1,560mmである。

試験地の前植生はいわゆる雑木林で、主にコナラ、ヤマハゼ、アカメガシワなどの落葉広葉樹によって構成され、これにヒサカキやクロキなどの常緑広葉樹やアカマツが混交する林であったことが、隣接する残存林から類推される。

昭和54年1月~3月にこの雑木林の伐採と地ごしらえを行い、同年3月にスギおよびヒノキを植栽し、薬剤散布時の林齡は4年生であった。

散布区の主要な植生は表-1のとおりである。山腹中~下部は特にススキ、ササ、クサ

イチゴの占有率が高く、山腹上部から山頂にかけてはウラジロが優占しており、他にはススキ、コナラ、ワラビなどの占有率が比較的高かった。

なお、山腹中～下部においてはクズやワラビが部分的に優占する場所もあり、ヒメジョオン、セイタカアワダチソウなどキク科草本の占有率も比較的高かった。

無散布区の植生は散布区に類似し、山腹中～下部においてはススキ、ササの占有率が高く、山腹上部や尾根部においてはヤブムラサキ、アカメガシワなどの落葉広葉樹とともにウラジロ、ススキなどの占有率が高かった。

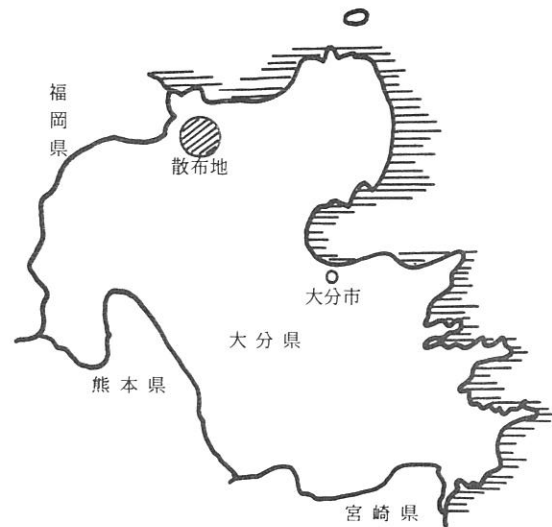


図-1 散布地の位置

表-1 散布区の主要植生

位 置	種 類
山腹下部	クサイチゴ(5), ササ(5), ワラビ(5), クズ(4)
	チヂミザサ(3), ボタンヅル(3), ヒメジョオン(2)
	クサギ(2), イボタノキ(2), ヘクソカズラ(2)
	フユイチゴ(2), ツルコウゾ(2), ススキ(2)
	イヌツゲ(1), ヤマハゼ(1), アカネ(1), ノブドウ(1)
	スゲ類(1), ヒヨドリジヨウゴ(1)
山腹中部	セイタカアワダチソウ(1), アキノノゲシ(1)
	クサイチゴ(5), ササ(5), ススキ(4), チヂミザサ(3)
	ヘクソカズラ(2), フユイチゴ(2), クズ(3)
	ヤマハゼ(1), ヤブムラサキ(1), ヤマフジ(1)
	サルトリイバラ(1), クヌギ(1), ボタンヅル(1)
	コウゾ(1), ヤマノイモ(1), カラムシ(1), ツルコウゾ(1)
山腹上部 (山頂)	ウラジロ(5), ススキ(3), サルトリイバラ(2)
	コナラ(2), ワラビ(2), ヤマフジ(1), ヤマツツジ(1)
	クズ(1), リョウブ(1), アカメガシワ(1), ヒサカキ(1)
	ヤマハゼ(1), マルバハギ(+), ノイバラ(+)

註) () は被度階級
被度によって次の
ように区分した。
5 … 75～100 %
4 … 50～75 %
3 … 25～50 %
2 … 10～25 %
1 … 1～10 %
+ … 1 %以下

散布区の略図は図-2のとおりで、無散布区は散布区の南約450 mの位置にある。

3. 試験区の構成

表-2 試験区の構成

試験区	供 試 薬 剂	有 効 成 分	散布量	面積
散 布 区	ザイトロンフレノック微粒剤	トリクロビル 3% テトラピオン 5%	80kg/ha	4.19ha
無散布区	——	——	——	5.32ha

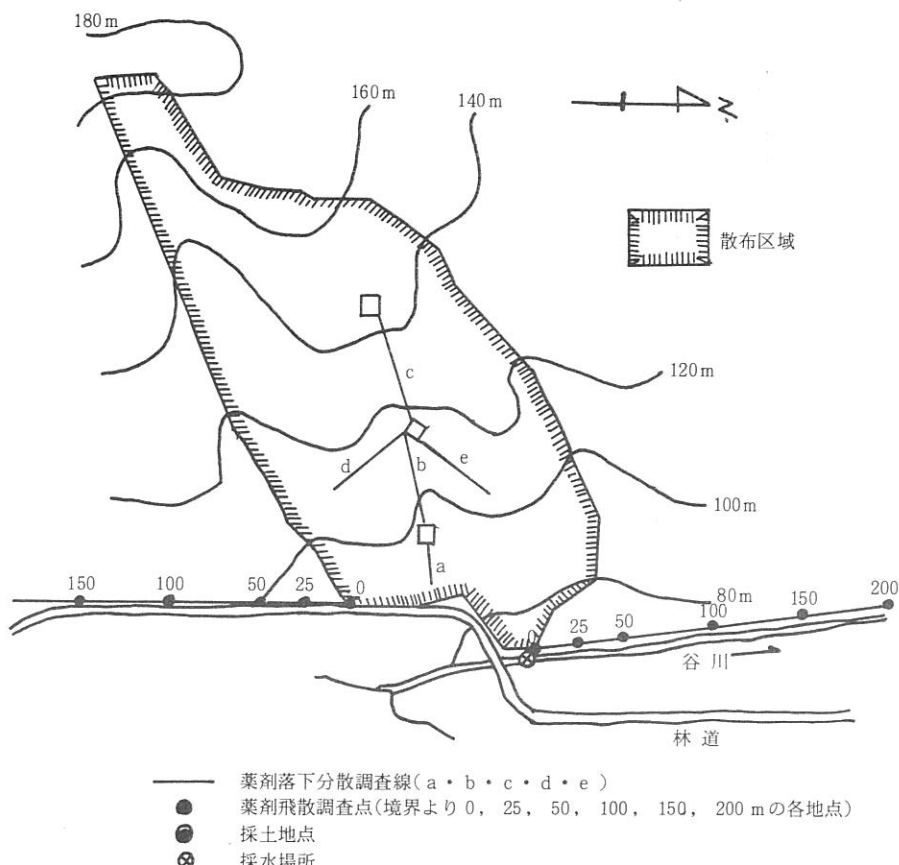


図-2 散布地略図

4. 敷布方法

- (1) 敷布期日 昭和57年7月6日
- (2) 敷布装置 微粒剤散布装置
- (3) 敷布飛行諸元
 - ア. 高度 樹冠上10~20m

図-6は造林木の地際より50cmの位置の照度および林外の照度を、散布時、散布2ヶ月後および散布翌年の生育盛期に測定した結果を相対照度で示したものである。散布時(前)の照度は調査区によって異なっていたが、散布時に比較して散布2ヶ月後の照度は無散布区は低下したが、散布区はやや高くなっていた。散布翌年の生育盛期も植生の種類や地位により草高に相違はあるが相対照度は無散布区に比し散布区は高い数値を示した。このように散布時と散布後の照度の変化によても、薬剤の効果があったことが認められた。

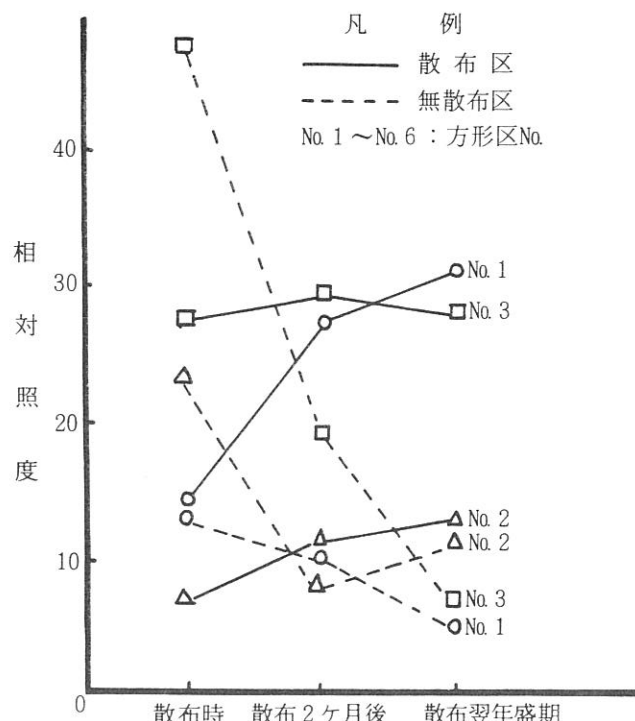


図-6 相対照度の変化

造林木のスギ、ヒノキに対する薬害は、肉眼で観察したが、全く認められなかった。表-9は造林木の樹高生長を示したものである。スギについては散布時から翌年生育盛期までに散布区では85cm伸長し、60.3%の伸長率であったのに対し、対照区は52cmの伸長で伸長率は、31.6%であった。しかし、ヒノキは両区とも伸長量の差はほとんど認められなかつたが伸長率では無散布区が高かった。これは無散布区のヒノキの調査本数が少ないと、立地条件に差異があったためと思われる。このことから薬剤散布により林木の生長には全く障害はなかったものと思われる。

表-9 造林木の樹高

試験区	樹種	散布時	1か月後	2か月後	伸長量 (伸長率)	散布翌年生育盛期	
						樹高	伸長量率
散布区	スギ	141 cm	154 cm	165 cm	24 cm (17.0%)	226 cm	85 cm (60.3%)
	ヒノキ	176	185	194	18 (10.2)	240	64 (36.4)
無散布区	スギ	144	150	160	16 (11.1)	196	52 (36.1)
	ヒノキ	137	141	156	19 (13.7)	203	62 (48.2)

註) 伸長量 = 散布 2か月後の樹高 - 散布時の樹高

$$\text{伸長率} = \frac{\text{散布 2か月後の樹高} - \text{散布時の樹高}}{\text{散布時の樹高}} \times 100$$

6. 下刈の必要性

薬剤散布時の造林木の林齢が4年生で平均樹高が $\frac{150 \text{ cm}}{137 \sim 176 \text{ cm}}$ で翌年生育盛期の平均樹高は $\frac{216 \text{ cm}}{196 \sim 240 \text{ cm}}$ に達しているため中腹より上部の林地は草高も低くクズもほとんど伸長していないことから下刈の必要性は考えられないが、山腹下部の特に窪地はススキが全面にあり旺盛な生長をしており、また、抑制効果の現われなかったボタンヅルの群生地があり、造林木を被圧しているためこの部分については下刈りが必要である。

IV. 問題点および今後の検討問題

前述したように、ザイトロンフレノック微粒剤の散布当年および翌年生育盛期には一部の植生を除き、効果は明瞭に現れていたが、植生の種類によって反応の程度は異なり、この薬剤の効果が大きいとされている広葉雑草木の中にも、ヤブムラサキなどのようにほとんど反応が認められなかった種類もあった。なお、反応の認められた種類においても、反応の判定規準（林地除草剤導入試験調査要領）の1～2に区分されるものが比較的多かった。このように効果は必ずしも十分とは言えない面があるが、これには散布後間もない7月中旬より下旬にかけて雨量が多く気温が低かったことや、散布当日の散布後に一時的に少量の雨が降ったことなどの悪条件が影響していることが考えられ、このため薬剤の効果が十分発揮されていない可能性もある。

この薬剤の実用上の問題点として、散布目的植生であるススキに対して散布当年は茎葉の萎縮が一部で見られたが、枯死などの反応は認められず、翌年は旺盛な生長をなしていることから散布量および散布時期を再検討する必要がある。

V. おわりに

スギ、ヒノキの4年生造林地にザイトロンフレノック微粒剤を空中散布して、散布当年と翌年の雑草木に対する除草効果と造林木におよぼす影響を調査した。

- (1) 薬剤の試験区内への落下分散は、散布時における弱風の影響などによってややムラが認められ、試験区外へ少量の飛散もあったが、概して良好な散布が行われていた。
- (2) 雜草木に対する除草効果は、落葉低木本、クズ、キク科の草本などに明瞭に認められた。ササに対しては抑制効果は認められたが、ススキに対しては反応は認められなかった。
- (3) 敷設時と散布2か月後および散布翌年の生育盛期に相対照度を調査した結果、無散布区（対照区）に対し散布区は高い照度を示しており、散布効果があったものと思われる。
- (4) 造林木であるスギ、ヒノキの薬害は全くみられなかった。
- (5) 下刈りの必要性を検討したが、散布当時造林木が4年生で翌年生育盛期の平均樹高が216cmであるため、山腹下部の草高の高い場所を除けば下刈りはほとんど不必要な状況にあった。

路等で56ヶ所、被害額244百万円、林業関係は山腹崩壊1,606ヶ所、林道の損壊160ヶ所等で被害額は4,752百万円、土木関係は道路の決壊61、橋梁の流失等8で335百万円、その他の災害を含めて総額5,570百万円となっている。

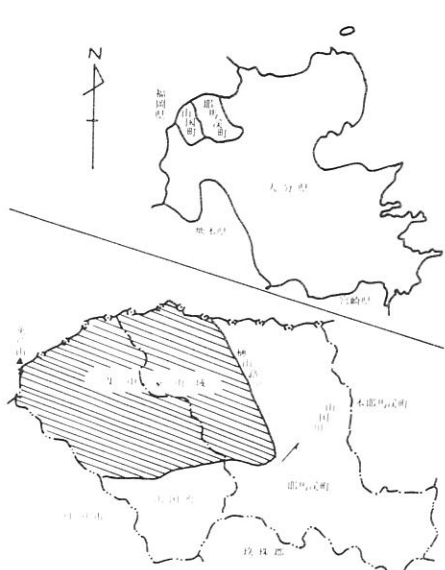


図-1 集中豪雨区域

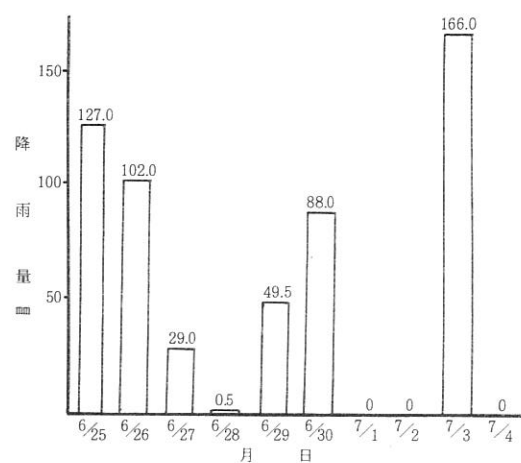


図-2 日別降雨量(小原井観測所調べ)

III. 山林の被害状況調査結果および考察

1. 概況調査結果

被害区域の林分構成および樹種別の山腹崩壊ヶ所数は表-1のとおりである。

全体面積は11,192haで、樹種別占有面積ではスギが最も多く7,349haで65.7%を占め、次に広葉樹の22.1%，ヒノキ7.9%，クヌギ1.3%，マツ0.5%，除地2.5%となっている。

樹種別崩壊ヶ所数では総数1,606ヶ所で、このうちスギが1,229ヶ所で76.5%を占め、樹種別占有率に比し大幅に崩壊率が大きくなっている。次に広葉樹の288ヶ所で18.0%，ヒノキ88ヶ所で5.5%となり、クヌギ林は147haのうち1ヶ所の崩壊、マツ林は56haで0であり林地保全の面から山腹崩壊危険地(後述)にはマツ、クヌギの植栽が有望と思われる。

樹種ごとの齢級別面積では、スギは5齢級が最も多く22.2%，次で4齢級の20.5%，3齢級の15.1%，6齢級が12.3%の順、ヒノキは2齢級が23.6%，8齢級12.2%，1齢級

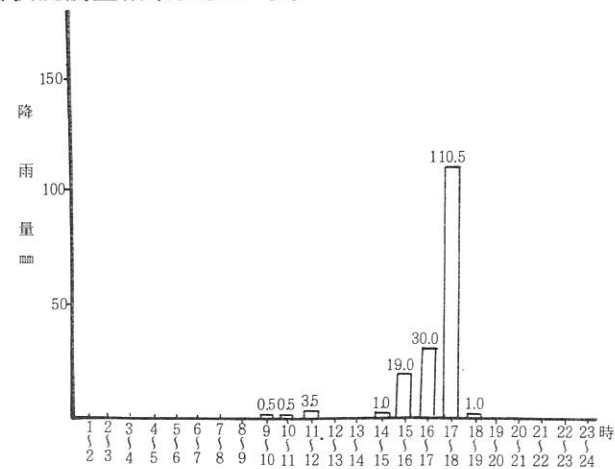


図-3 7月3日の時雨量(小原井観測所調べ)

比し、崩壊の発生が明らかに少ないことが認められた。

また、スギは各齢階とともに面積に比例した崩壊地が出現しているのに對し、ヒノキは1~4齢級に集中しており、5齢級以上の林分にはほとんど出現していないという極めて興味ある事実が見出された。

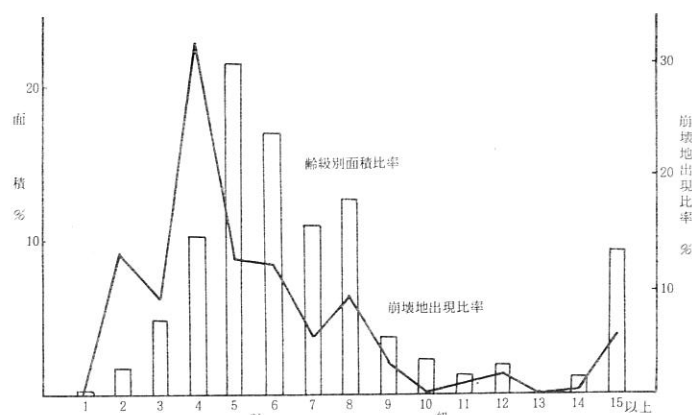


図-6 広葉樹齢級別面積及び崩壊地出現比率

表-2 分散分析表

要因	平方和	自由度	分散	F
樹種	6.4867	1	6.4867	7.8200*
齢級	19.1049	14	1.3646	1.6450
誤差	11.6132	14	0.8295	
全体	37.2049	29		

この原因としては、ヒノキの幼齢時はスギに比し根量が少ないが年々増加し、太根細根が多量に発達し20年生頃にはスギをしのぐ根量となる。このため根系の支持力も増大し林床が安定したためと考えられる。

スギ、ヒノキで共通している点は15~20年生林分に最も崩壊が多く発生していることでこの原因是第一に各林分とも除間伐がなされず上長生長に比し根系の発達が不十分で安定性を欠いたこと、第二に昭和30年代前期よりスギ、ヒノキの人工造林が進み、当初は地形の比較的良好な山腹下部に造林されていたものが、後期には山腹上部まで造林が行なわれ、急傾斜地の崩壊危険度の高い林地に造林されたこと等に起因しているものと考えられる。

表-3 源頭部の樹種別崩壊規模別件数

規模 樹種	0.05ha 未満	0.05 ~0.09	0.10 ~0.14	0.15 ~0.19	0.20 ~0.24	0.25 ~0.29	0.30 ~0.34	0.35 ~0.39	計
スギ	1,114	102	7	4				2	1,229
ヒノキ	82	5			1				88
クヌギ	1								1
他広葉樹	239	38	6	1	1	2	1		288
計	1,436	145	13	5	2	2	1	2	1,606
面積	31.10	8.43	2.35	0.95	0.42	0.56	0.34	0.77	44.92

崩壊源頭部の樹種別規模別件数は表-3のとおりで0.05ha未満の崩壊ヶ所が1,436件で全体の89%を占め、その面積は31.10haで69%である。0.05~0.09は145件で9%となり、0.10ha未満の崩壊地が98.5%を占める規模としては小さい崩壊であったが、この源頭部の滑落が瞬時のうちに起り、立木が立ったまま大きなエネルギーを発しながら滑落したため、下方の林木をなぎ倒し、土石の崩壊も伴っており、源頭部面積4.4.9.2haに対し侵蝕部は

91.06 haで2倍以上と被害をより大きくしている。

源頭部の標高別崩壊ヶ所数は表-4に示すとおりで、集中豪雨域の標高は100～1,200mと急峻な山岳地帯であったが、降雨は高岳地に集中し、標高500m以上で1,361件、85%の崩壊地が出現していた。

表-4 源頭部上部の標高別崩壊個所数

標高	200 未満	200 299	300 399	400 499	500 599	600 699	700 799	800 899	900 999	1000 以上	計
件数	3	28	82	132	354	370	303	258	74	2	1,606

また、山腹面では山腹上部が735ヶ所、山腹中部が711ヶ所、山腹下部が160ヶ所で、中部から上部の急斜面に集中して崩壊が発生していた。

2. 精密調査結果

源頭部周辺の地況および林況について16ヶ所の精密調査を実施した。その結果は表-5、表-6に示すとおりである。

まず、崩壊に基づく因子として方位別発生頻度を調査したが、方位はまったく無関係であった。傾斜は崩壊要因としては大きなウエイトをもっているようで、調査崩壊ヶ所で最も緩傾斜地でも36°であり、ほとんどが40°以上で最高は47°であった。特に斜面勾配の変曲点に崩壊が集中していた。土壤深は侵蝕崖について調査したが、崩壊前から岩盤が露出している0cmから深い所で180cmで平均69.3cmと全般的に浅く、崩壊面には75%に岩盤が露出していた。

源頭部の背後斜面の状況であるが、岩盤または大転石が多く、平均斜面長39m、平均傾斜角41.6°で尾根筋付近の急傾斜地に崩壊が集中していることがわかった。

また、崩壊地の地況であるが、山腹上部のやや凹地で土壤は変朽安山岩によりなる半風化石礫の混入が著しく膨軟で透水が容易となっており、冠水型山地浸透能計により浸透能を測定した結果最高で18,000mm/hr、平均5,407mm/hr、で非常に高い透水性を示した。

林況ではスギの品種ごとの崩壊発生頻度について調査したが、品種間には差異は認められなかった。立木密度においては壮齡林以上では高密度林分ほど崩壊が大きくなるようであるので、除間伐の推進により根系の発達を促し、支持力を高めることが肝要である。

以上調査結果およびその考察を記述したが、崩壊要因について列記すると次のとおり。

- (a) 驚意的な降雨に見舞われたこと。
- (b) 被害区域が高岳で急峻であったこと。
- (c) 崩壊地周辺に岩石が広範囲に露出し、岩石上の降雨が浸透せず凹地に集中して流れ込んだこと。
- (d) 崩壊面の土壤が浅く、傾斜した岩盤に乗っていたこと。
- (e) 変朽安山岩地帯で半風化土壤であったため岩礫が多量に混入し透水性が良かったこと。
- (f) 造林不適地に造林がなされたこと。
- (g) 造林樹種の選定を誤ったこと。
- (h) 除間伐が適正に行なわれなかつたこと。

表-5 源頭部周辺の地況および林況

調査地No.	地						況			
	方 位	傾 斜	位 置	面 積		土壤深	基岩露出 の 有 無	地 質	背 後 斜 面	
				源頭部	侵蝕部				斜距離	傾斜角
1	N57°E	38°	山腹上部	0.13ha	0.86ha	$\frac{70}{20 \sim 120}$	有	耶馬溪層 上部層	45m	41°
2	S40°E	40°	"	0.19	0.20	$\frac{98}{0 \sim 180}$	無	宇佐層群	34	40°
3	S12°E	36°	"	0.02	0.10	$\frac{85}{50 \sim 150}$	有	"	38	34°
4	S68°E	44°	山腹中部	0.04	0.09	$\frac{91}{40 \sim 140}$	無	"	50	44°
5	E	45°	"	0.02	0.07	$\frac{87}{80 \sim 90}$	有	"	70	42°
6	N60°W	45°	"	0.01	0.02	$\frac{70}{55 \sim 80}$	"	"	56	42°
7	N60°W	45°	"	0.01	0.02	$\frac{89}{70 \sim 120}$	"	"	55	42°
8	N15°W	46°	"	0.04	0.06	$\frac{79}{40 \sim 115}$	"	筑紫溶岩	37	45°
9	N 6 °W	46°	"	0.02	0.03	$\frac{51}{0 \sim 115}$	"	"	44	44°
10	N20°W	46°	"	0.01	0.03	$\frac{40}{0 \sim 55}$	"	"	38	45°
11	S52°W	41°	山腹上部	0.01	0.04	$\frac{65}{50 \sim 80}$	無	"	34	38°
12	S80°W	36°	"	0.01	0.03	$\frac{42}{30 \sim 60}$	"	"	22	36°
13	N40°W	43°	"	0.02	0.06	$\frac{83}{30 \sim 120}$	有	宇佐層群	20	40°
14	S52°W	46°	"	0.02	0.04	$\frac{64}{40 \sim 100}$	"	"	23	43°
15	S 8 °E	47°	"	0.01	0.03	$\frac{40}{30 \sim 60}$	"	"	18	44°
16	N30°W	47°	山腹下部	0.01	—	$\frac{55}{0 \sim 100}$	"	"	44	45°

調査地No.	林							植栽回数
	樹 品 種	林 齢	ha 当り 立木本数	形 状 比	間伐の 有 無	下 层 植 生 占 有 率		
1	ミスギ	18年	2250本	0.73	1回	30%	2代	
2	ヤブクグリ	22	2124	0.78	無	25	"	
3	"	22	1681	0.70	"	50	初代	
4	クヌギ	10	2500	0.85	"	100	"	
5	ヤブクグリ	21	1947	0.77	"	80	"	
6	ヒノキ	13	2293	0.66	"	40	"	
7	"	13	2293	0.66	"	40	"	
8	ミスギ	27	3377	0.83	"	50	2代	
9	"	27	3377	0.83	"	50	"	
10	ヤブクグリ	8	3000	—	"	100	"	
11	ヒノキ	1	3000	—	"	100	"	
12	"	1	3000	—	"	100	"	
13	ヤブクグリ	21	2553	0.67	"	35	初代	
14	"	21	2553	0.67	"	35	"	
15	ミスギ	14	3694	0.87	"	100	"	
16	ホンスギ	11	4267	0.76	"	100	"	

表-6 源頭部侵蝕崖透水試験

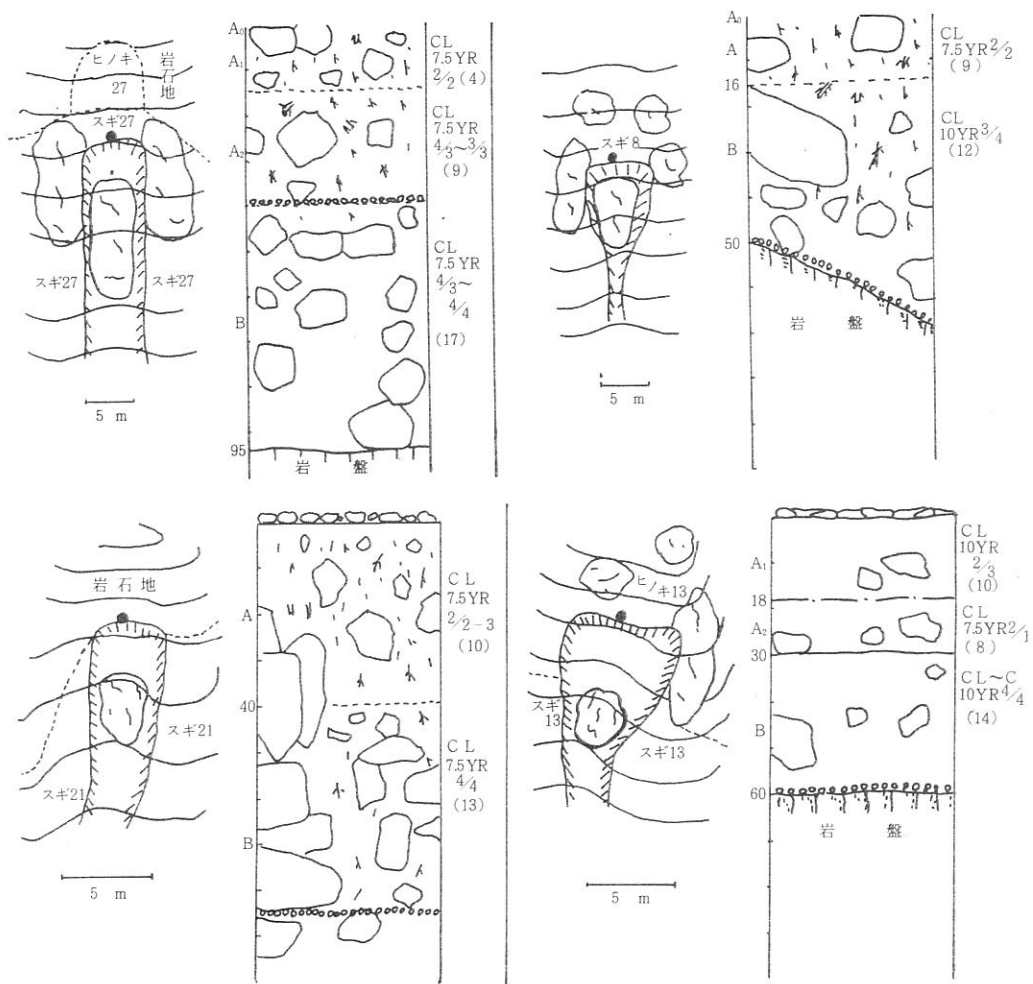
調査 地No.	透水試験		侵蝕崖からの浸透水		備考
	時間 (sec)	浸透能 (mm)	時間 (sec)	深さ (cm)	
1	110	1,636	—	—	1) 浸透能測定は侵蝕崖より50cm上部に冠水型山地浸透能計を設置し、2回目の浸透時間を調べた。
2	10	18,000	661	85	
3	58	3,103	—	—	
4	33	5,455	101	67	2) 浸透能は次式により算出した。
5	56	3,214	479	85	$a = \frac{1.8 \times 10^5}{t}$
6	35	5,143	281	60	
7	45	4,000	42	26	$a = \text{浸透能 mm/hr}^{-1}$
8	20	9,000	25	65	$t = \text{所要時間 sec}$
9	25	7,200	16	40	
10	39	4,615	126	55	
11	46	3,913	—	—	
12	127	1,417	—	—	
13	66	2,727	—	—	
14	84	2,143	—	—	
15	15	12,000	38	70	
16	61	2,951	—	—	

IV. おわりに

山地災害により下流の人畜、家屋、道路、農耕地等に大きな被害を与えていたが、山腹崩壊危険ヶ所の早期発見による予防治山工事が必要であり、森林の適切な施業が要求される。

今回の調査結果に基づき崩壊危険ヶ所を挙げると、40°以上の急傾斜地で、上部に岩石地や大岩石の転在地、凹地の側面に岩石が露出し、降雨が一ヶ所に集中するヶ所、土壤深の浅いヶ所、土壤に石礫が多量に混入し浸透能の高いヶ所、林分構造ではスギが尾根付近まで植栽されているヶ所、林齢が20年生までの幼齢林（特に15~20年生の林分）、立木が過密な林分等である。

家屋上部の林地に以上のようなヶ所が見受けられれば早急に予防治山工事を施工し、災害から人命、財産を守るべきであろう。



附図 崩壊地の代表的な平面図および土壤断面図

大分県林業試験場研究時報 No. 7 1983

昭和58年10月25日 印刷

昭和58年10月30日 発行

編集 大分県林業試験場指導調査室

〒 877-13 大分県日田市大字佐寺原

TEL 0973(23)2146

(23)2147

印刷所 川原印刷

〒 877 大分県日田市上城内町 1281-3

TEL 0973(22)3571
